

МАТЕМАТИЧЕСКАЯ МОДЕЛЬ НАПРЯЖЕННО-ДЕФОРМАЦИОННОГО СОСТОЯНИЯ РЕЗИНОТКАНЕВОЙ ЛЕНТЫ ШАХТНЫХ КОНВЕЙЕРОВ С УЧЕТОМ ЕЕ МАКРОПОВРЕЖДЕНИЙ ПРОБОЕМ

Татаринский А.В., магистрант,
Грудачев А.Я., канд. техн. наук, проф.,
Донецкий национальный технический университет

Разработана математическая модель напряженно - деформационного состояния резиноканевой ленты с учетом ее макроповреждений пробоем

It is developed the mathematical model of stain-damage state to bands with rubber and cloth for mines' conveyors using information about it's macrodamages by punching

Проблема и ее связь с научными и практическими задачами

Лента является основным и наиболее дорогим, но наименее долговечным элементом ленточного конвейера. Стоимость ее составляет около половины общей стоимости конвейерной установки, а высокие амортизационные отчисления на ленту являются немаловажным фактором, определяющим область применения и экономическую эффективность конвейерного транспорта. Поэтому правильный выбор конструкции и характеристик ленты наряду с обеспечением надлежащих условий ее эксплуатации, с чем связано удлинение сроков службы ленты, имеет существенное значение.

Ориентировочный объем лент, выходящих из строя по причинам проколов и порывов ленты единичными ударами большой силы равняется 10%, поэтому изучение данного вопроса является актуальным, а исследование процессов напряженно-деформационного состояния резиноканевых лент при данном виде повреждений позволит снизить затраты, связанные с заменой ленты почти на 10% [1].

Анализ исследований и публикаций

Научные основы теории совершенствования конструкций и методов расчета резиноканевых лент посвящены исследования д.т.н.И.Г.Штокмана, к.т.н.В.Я. Барабанова, проф. В.С.Волотновского, проф.Е.Н.Высочина, В.А.Зуева, проф.Д.Ш.Монастырского, Г.В.Присязаного, к.т.н.Л.Н.Эппеля, П.В.Яковлева и многих других ученых, как в нашей стране, так и за рубежом. Данным вопросом за-

нимаються організації такі як: Московська горна академія, Інститут геотехнічної механіки, Запорожський національний технічний університет, Донецький національний технічний університет, ООО «Горний інститут» міста Днепропетровск і т.д.

Все із вищеназваних учених і організацій затрагивали питання руйнування конвеєрних лент із-за накоплення концентрацій пробоев в них в процесі експлуатації. Так, наприклад, в роботах проф. І.Г.Штокмана со всієї повнотою дослідницької можливості обосновані процеси наростання пробоев і причини викликані такими; в роботах к.т.н. Л.І.Эппеля описані процеси изнашивания робочий, нерабочих прокладок, бортов резинотканевої ленти в процесі її експлуатації, що веде до зменшенню сечення ленти по її ширині; в роботах к.т.н. В.Н.Потураєва описані процеси розвитку тріщини в однорідній і ізотропній середі, но тільки на прикладі тонких пластинок із гуми, що в повній мірі не спроможні описати процес розвитку тріщини в резинотканевій ленті, в якій гума складає визначений відсоток в структурній її частині; в роботах проф. Д.Ш.Монастирського описані напруження діючі в резинотканевих лентах в процесі їх експлуатації. В вищеказаних роботах не було з математичної сторони описано процес появи і розвитку тріщин в резинотканевих лентах від пошкоджень таких пробоев.

Постановка задачі

Для досягнення вищеказаної мети поставлені наступні основні задачі:

- розробка математичної моделі напружено - деформованого стану резинотканевої ленти шахтних конвеєрів;
- аналіз розвитку динамічних процесів в резинотканевих лентах при їх пробое;
- прогнозування часу руйнування ленти в залежності від форми пробоя, місця його виникнення і циклу навантаження ленти.

Изложение материала и результаты

При розв'язанні задачі приймаємо наступні допущення [2] (рис. 1):

- розглядається тканина як нелінійно еластичний анізотропний матеріал, а гуму – як лінійно еластичний ізотропний елемент;
- вважаємо, що в разі плоскої задачі компоненти тензора напружень σ_{zz} , τ_{xz} , τ_{yz} і компоненти тензора деформацій ϵ_{zz} , γ_{xz} , γ_{yz} дорівнюють нулю.

- пренебрегая локальными эффектами, напряжения и деформации в ткани и резине принимаем постоянным по сечению и медленно меняющимися по длине;
- рассматриваем тканевый каркас как сплошное макроскопически однородное тело;
- эффектами, связанными с переплетениями ткани, пренебрегаем.

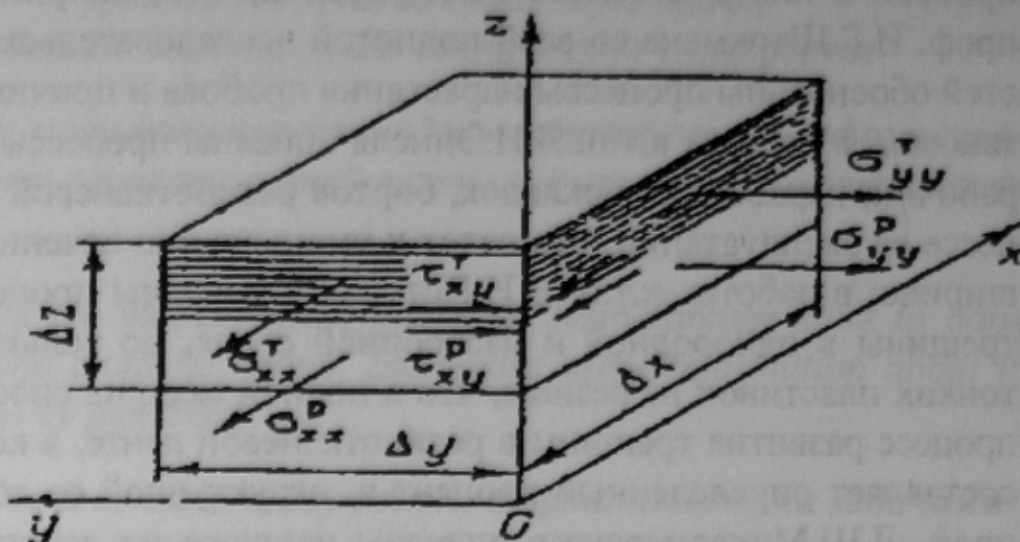


Рисунок 1 - Элемент прорезиненной прокладки с обозначением действующих напряжений на его поверхности

Напряжения в элементах конструкции конвейерных лент можно условно разделить на три вида: растяжения, изгиба и местных деформаций. Максимальные напряжения растяжения будут действовать в точке, где наблюдаются наибольшие нагрузки (статические, динамические или суммарные). Следуя общей теории армирования сред, снабдим параметры, относящиеся к ткани, индексом «т», а параметры, относящиеся к резине, индексом «р». Структурные напряжения в ткани обозначаются через $\sigma_{xx}^T, \sigma_{yy}^T, \tau_{yx}^T$, а макроструктурные деформации через $\epsilon_{xx}^T, \gamma_{yy}^T, \gamma_{yx}^T$. Аналогичные компоненты для резины $\sigma_{xx}^P, \sigma_{yy}^P, \tau_{yx}^P, \epsilon_{xx}^P, \gamma_{yy}^P, \gamma_{yx}^P$. Средние компоненты для слоя в целом обозначим $\sigma_{xx}, \sigma_{yy}, \tau_{yx}, \epsilon_{xx}, \gamma_{yy}, \gamma_{yx}$. Тогда средние напряжения в каркасе [2]

$$\sigma_{xx} = \psi \sigma_{xx}^T + (1 - \psi) \sigma_{xx}^P \quad (1)$$

$$\sigma_{yy} = \psi \sigma_{yy}^T + (1 - \psi) \sigma_{yy}^P \quad (2)$$

$$\tau_{yx} = \tau_{yx}^T = \tau_{yx}^P \quad (3)$$

где $\psi = \frac{f_t}{f_t + f_p}$ – коэффициент армирования;

f_t - площадь ткани в сечении $\Delta y \Delta z$;

f_p - площадь резины в том же сечении.

Эквивалентное растягивающее усилие в каркасе резинотканевой ленты можно найти как

$$\sigma_{\text{экс}} = \sqrt{\sigma_{xx}^2 + \sigma_{yy}^2}, H. \quad (4)$$

В общем случае сдвиговые усилия определяются по формуле

$$\tau = \gamma_{\text{max}} \cdot G_{xy}, H, \quad (5)$$

где $G_{xy} = (8-10) \text{ Н/мм} \cdot \text{прокл}$ – для всех резинотканевых лент [3];

E – модуль Юнга, $\frac{H}{\text{мм}^2}$.

Максимальное сдвиговое усилие при огибании лентой барабана также могут находиться по формуле [2]

$$\gamma_{\text{max}} = \frac{0,37 \cdot \delta \cdot B \cdot i}{D_b} \sqrt{\frac{E \cdot c}{G_{xy}}}, \quad (6)$$

где i – количество прокладок ленты;

c – суммарная толщина тканевой прокладки и сквиджа в общей толщине ленты, мм.

Тогда зная τ и по (5), для определенной ленты и конвейера, а также найдя растягивающие усилия по (4) и (6), находим эквивалентное напряжение, действующее в ленте, по формуле

$$\sigma_{\text{экс}}^{\text{лент}} = \sqrt{\sigma_{\text{экс}}^2 + 4(G_{xy} \cdot \gamma_{\text{max}})^2}, \quad (7)$$

где $\sigma_{\text{экс}}$ – находится используя выражение (4) или принимается по критической прочности ленты

$$\sigma_{\text{экс}} = \sigma_{\text{пр}} = B \cdot i \cdot p / m,$$

где B – ширина ленты, мм;

p – разрывные усилия 1 см ширины прокладки, кН/мм;

m – коэффициент запаса прочности ленты.

Подставляя (6) в (7) получаем эквивалентное напряжение в резинотканевой ленте при прохождении ее через барабан

$$\begin{aligned} \sigma_{\text{экс}}^{\text{лент}} &= \sqrt{\left(\frac{B \cdot i \cdot p}{m}\right)^2 + 4 \left(G_{xy} \cdot \frac{0,37 \cdot B \cdot \delta \cdot i}{D_b}\right)^2 \cdot \frac{E \cdot c}{G_{xy}}} \quad (8) \\ &= \sqrt{\left(\frac{B \cdot i \cdot p}{m}\right)^2 + 4 E \cdot c \cdot G_{xy} \left(\frac{0,37 \cdot i \cdot B \cdot \delta}{D_b}\right)^2}, H \end{aligned}$$

Общее время разрушения образцов резинотканевой ленты τ :

$$\tau = \tau_0 + \tau_1 + \tau_2 \quad (9)$$

где τ_0 – время, необходимое для формирования трещины;

τ_1 – медленная стадия развития трещины;

τ_2 – быстрая стадия развития трещины.

Долговечность резиноканевых ленты можно представить в виде:

$$\tau = \tau_1 + \tau_2 = \int_0^1 \frac{d1}{V_0 e^{\beta 1}} + \int_{1-}^1 \frac{d1}{1} = \frac{1}{V_0 \beta} (1 - e^{-\beta 1}) + \frac{1 - 1_m}{c}, \text{с.} \quad (10)$$

В общем случае долговечность образцов может быть выражена соотношением:

$$\tau = b e^{-B \sigma}, \text{с.} \quad (11)$$

где b и B - постоянные, зависящие от материала;
 σ - напряжения в образце.

Используя теорию Маккеавели [3], конец трещины в материале имеет характерный фиктивный радиус и можно подсчитать напряжение σ_0^{mp} около вершины трещины по формуле:

$$\sigma_0^{mp} = \sigma_n \left(1 + 2 \sqrt{\frac{C_{mp}}{J}} \right), \text{Н,} \quad (12)$$

где $C_{тр}$ - длина трещины, см; мм.

$\sigma_n = \sigma_{экр}$ - начальное напряжение в образце, на момент появления трещины, кН.

Используя формулу (12) и (8) можно получить математическую модель напряженно-деформационного состояния резиноканевых лент на барабане

$$\sigma_0^{mp} = \sqrt{\left(\frac{B \cdot i \cdot p}{m} \right)^2 + 4 E \cdot c \cdot G_{xy} \left(\frac{0,37 \cdot i}{D_{тр}} \right)^2} \cdot \left(1 + 2 \sqrt{\frac{C_{mp}}{J}} \right), \quad (13)$$

Время распространения трещины в образце при этом:

$$t = \left| \left(\frac{\beta}{v_0} \right) \cdot (L_{тр} - L_0) \cdot e^{-\beta(L_{тр} - L_0)} \right|, \text{с.} \quad (14)$$

где L_0 - начальная длина трещины.

В резиноканевых лентах могут образовываться трещины, не опасные для нее, т.к. напряжение около их радиусов распространения не превышает разрывного усилия ленты. Трещина не опасна, если

$$y_0^{тр} < B \cdot i \cdot p, \text{кН}$$

$$y_0^{тр} \leq [\sigma_p].$$

Так как трещина в резиноканевой ленте распространяется в две стороны от условно взятой середина ее образования, тогда математическая модель для напряжения и времени распространения трещины в две стороны для ленты на прямолинейном участке движения вблизи набегания ее на барабан, т.е без учета сдвигающих усилий, можно представить в виде:

$$\left\{ \begin{aligned} \sigma_{(1)n} &= K_{\text{конц}} \frac{\beta - \sum_{i=1}^{n-1} L_{(1,2)\text{тр}}}{m} \cdot i \cdot p \left(1 + 2\sqrt{\frac{L_{(1)\text{тр}}}{J_n}}\right), \text{кН} \\ \sigma_{(2)n} &= K_{\text{конц}} \frac{\beta - \sum_{i=1}^{n-1} L_{(1,2)\text{тр}}}{m} \cdot i \cdot p \left(1 + 2\sqrt{\frac{L_{(2)\text{тр}}}{J_n}}\right), \text{кН} \end{aligned} \right. \quad (15)$$

$$\left\{ \begin{aligned} t_{(1)n} &= \left| \left(\frac{\beta}{v_0}\right) \cdot (L_{(1)\text{тр}} - L_{(1)0}) \cdot e^{-\beta(L_{(1)} - L_{(1)0})} \right|, \text{с} \\ t_{(2)n} &= \left| \left(\frac{\beta}{v_0}\right) \cdot (L_{(2)\text{тр}} - L_{(2)0}) \cdot e^{-\beta(L_{(2)} - L_{(2)0})} \right|, \text{с} \end{aligned} \right. \quad (16)$$

В ленте в одном поперечном сечении может располагаться несколько пробоев, тогда напряжение в ленте относительно n-го пробоя:

$$\sigma_n = K_{\text{конц}} \cdot \frac{\beta - \sum_{i=1}^{n-1} L_{\text{тр}n}}{m} \cdot i \cdot p \left(1 + 2\sqrt{\frac{L_{n\text{тр}}}{J_n}}\right), \text{кН} \quad (17)$$

при этом разрыве усилие в ленте:

$$[\sigma_p] = \frac{B \cdot i \cdot p \cdot \frac{B - \sum_{i=1}^n L_{\text{тр}n}}{B}}{K_{\text{конц}}}, \text{кН} \quad (8)$$

где $\sum_{i=1}^n L_{\text{тр}n}$ - сумма длин трещин по ширине ленты в одном направлении распространения;

n - число пробоев в одном направлении ширины ленты;

$\sum_{i=1}^{n-1} L_{\text{тр}n}$ - сумма длин трещин по ширине ленты в одном направлении, за вычетом той трещины, напряжение около окружности, которой определяется;

$K_{\text{конц}}$ - коэффициент концентраций напряжения около трещины.

Представим график изменения напряжений в ленте ТК-100 на прямолинейном участке при числе прокладок 4 и 8, для $J=0,5\text{см}$ (рисунки 1)

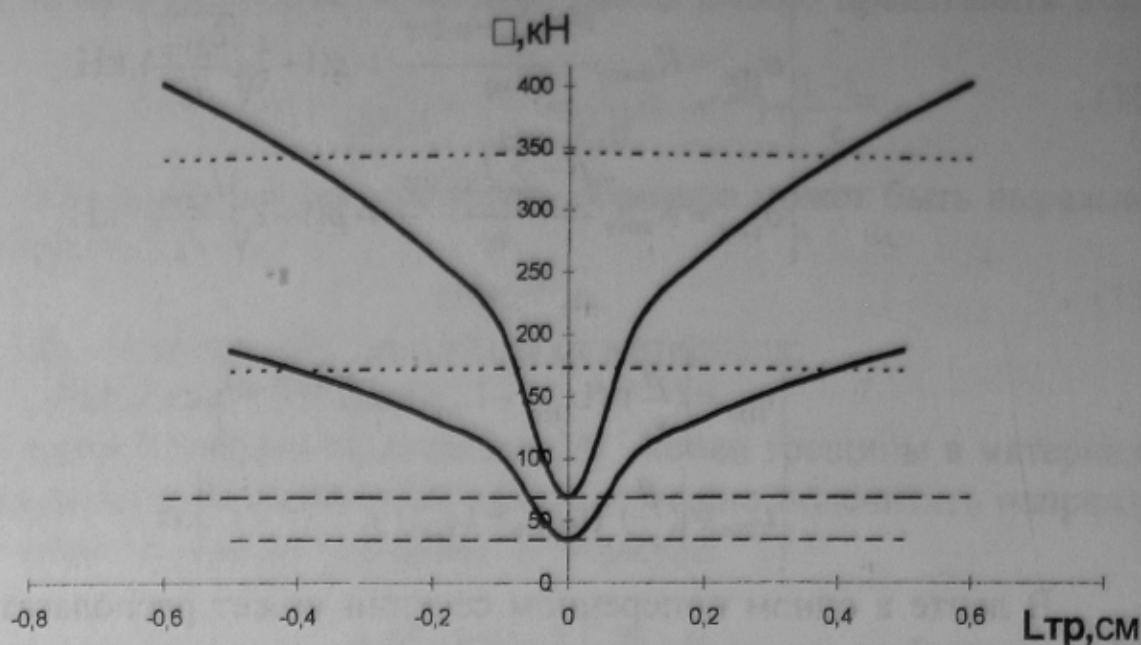


Рисунок 1 - Изменение напряжения в резинотканевой ленте ТК-100 относительно длины распространения трещины в ней при $J=0,5$ см

Выводы и направление дальнейших исследований

Основными результатами данной работы являются:

- 1) вывод основной математической зависимости изменения напряжения в резинотканевых лентах при их повреждении пробоем, а также время, которое требуется для полного разрушения ленты при пробое. Данные зависимости имеют вид экспоненты, которая показывает распространение напряжения и времени распространения трещины в ленты в результате пробоя в функции от длины данной трещины в ленте;
- 2) исследование ленты ТК-200, ТК-100 и расчет критической величины трещины в ней. Установлено, что при пробое ленты в сквозную диаметром окружности пробоя равной 0,1 см- критическая величина трещины равняется 0,8 см, а при диаметре окружности пробоя равной 0,5 см- соответственно 4 см.

Список источников.

1. Шахмейстер Л.Г., Солод Г.И. Подземные конвейерные установки.- "Недра", М., 1976, с.431
2. Монастырский Д.Ш. Механика процессов сборки резинотканевых конвейерных лент.- Л., 1989, с.105
3. Кожушко Г.Г. Механика деформации и прогнозирования ресурса резинотканевых лент конвейеров горно-рудных предприятий- Д., 1992, с.34